

文章编号: 0258-7025(2007)09-1178-04

83 W 659.5 nm 全固态红光激光器

杨 涛, 王建军, 姜东升, 赵 鸿, 梁兴波, 赵书云, 范利钢

(华北光电研究所固体激光技术国家重点实验室, 北京 100015)

摘要 报道了采用双抽运头串联的对称直通腔结构及 KTP 晶体腔内倍频实现高功率红光激光输出的实验结果。在激光二极管(LD)抽运功率为 1250 W, 声光 Q 开关工作重复频率为 10 kHz 条件下, 获得平均功率为 83 W, 波长为 659.5 nm 的红光激光输出, 光-光转换效率为 6.7%, 斜率效率为 17%。激光器采用平-平腔结构, 每个抽运头使用了一个连续运转的高功率激光二极管侧面抽运组件, 组件内由 35 只 20 W 的激光二极管呈五边形阵列分布抽运一根 Nd: YAG 圆棒。采用镜片镀膜的方法使 Nd: YAG 工作在 1319 nm 波长, 经腔内倍频得到单一波长 659.5 nm 红光输出, 并对该激光器的基频及倍频输出特性进行了实验研究。

关键词 激光器; 全固态激光器; 659.5 nm 红光激光器; 双抽运头; 对称直通腔; 腔内倍频

中图分类号 TN 248.1 **文献标识码** A

All-Solid-State Red Laser with 83 W Output Power at 659.5 nm

YANG Tao, WANG Jian-jun, JIANG Dong-sheng, ZHAO Hong,

LIANG Xing-bo, ZHAO Shu-yun, YUAN Li-gang

(State Key Laboratory of Solid-State Laser Technology,

North China Research Institute of Electro-Optics, Beijing 100015, China)

Abstract The experimental results of high-power red laser constituted of a symmetrical linear resonator with two pumping modules, and intracavity frequency-doubling with a KTP crystal are reported. The average output power of 83 W at 659.5 nm was obtained in the condition of 1250 W pump power and the acoustic-optical Q-switching repetition rate of 10 kHz. The optical-optical efficiency was 6.5% and the optical slope efficiency was 17%. The laser adopted a plane-plane cavity structure. Every pumping head was equipped with a high power continuous wave (CW) side-pump module comprising of a Nd: YAG rod side-pumped by thirty-five 20 W laser diode arrays (LDAs) with pentagon geometry. To realize the oscillation of single wavelength of 1319 nm in Nd: YAG, the reflectivities of the resonator mirror are designed, which also leads to the single wavelength output of second-order harmonic (659.5 nm). The laser output characteristics of fundamental and frequency-doubled wavelengths have been studied.

Key words lasers; all-solid-state laser; 659.5 nm red laser; double pumping modules; symmetrical linear resonator; intracavity frequency-doubling

1 引言

红光激光器在激光显示领域具有广泛的应用前景^[1]。激光显示技术不仅能达到传统显示的所有技术指标,而且拥有更宽的色域和更高的色饱和度,能显示自然界最真实、最丰富的色彩,已成为目前国际显示领域的研究热点之一。近年来,我国的激光显示技术发展非常迅速。2002 年,中国科学院所属五

家研究单位联合攻关,在国内首次实现了全固态激光(DPL)全色显示;2005 年,又成功研制出 60 寸激光家庭影院样机,84 寸及 140 寸大屏幕激光显示(背投)样机^[2],使我国的激光显示技术与国际同步,多项成果达到世界先进水平。早期的激光显示主要采用气体激光器作为激光光源,但气体激光器效率低、寿命短、体积庞大,难以实用化。20 世纪 80 年

收稿日期: 2007-04-27; 收到修改稿日期: 2007-07-02

作者简介: 杨 涛(1980—),男,贵州人,工程师,主要从事高功率激光二极管抽运的全固态激光器的研究。

E-mail: yt_tom_topgun@sohu.com

导师简介: 姜东升(1968—),男,河南人,研究员,目前研究方向为高功率固体激光器技术。E-mail: jiangds@263.net

代末,全固态激光技术获得快速发展,并逐步取代气体激光,成为新一代激光显示技术的首选。目前,在激光显示所需的三基色中,绿光激光器技术已经相当成熟^[3],但要获得高功率、高质量和高稳定性的红光和蓝光光源技术难度依然很大。采用光纤耦合输出的红光激光二极管(LD)及采用 Nd:YVO₄ 晶体倍频产生的671 nm激光技术近几年来得到迅速发展^[4,5]。红光激光二极管通过阵列组合方式可以得到较高的功率输出,但光束质量很不理想;而 Nd:YVO₄ 晶体热导率低,机械性能较差,无法承受大功率抽运,难以获得高功率激光输出。这些缺点都使其难以满足激光显示对激光光源的要求。Nd:YAG 晶体是目前技术最成熟、应用最广泛的激光晶体,它能够通过侧面抽运获得上千瓦的抽运功率,再对其1319 nm波长倍频就可获得659.5 nm波长的高功率红光输出。2005年天津大学温午麟等采用激光二极管连续抽运 Nd:YAG/KTP 倍频在L型腔上实现了12 W红光输出^[6];2006年中国科学院物理所彭海波等利用激光二极管连续抽运 Nd:YAG/LBO 倍频在Z型腔上实现了28 W红光输出^[7]。

本文介绍了采用双抽运头串联对称直通腔结构及KTP 晶体腔内倍频实现高功率红光激光输出的实验装置及结果。实验中,通过采用双抽运头串联方式,总的抽运功率达到上千瓦;采用对称直通腔结构,并对激光晶体热效应进行有效补偿,优化了谐振腔性能;通过对谐振腔腔镜膜系参数的选择,有效地抑制了1064 nm及1338 nm波长激光振荡,使激光器只在1319 nm单一波长条件下工作。实验表明,在总抽运功率1250 W,声光Q开关工作重复频率10 kHz条件下,最终获得了输出功率达83 W的659.5 nm单一波长红光激光输出。

2 实验装置

实验装置如图1所示,激光谐振腔采用双抽运头直通腔结构,总长700 mm。其中M₁为全反镜,M₂为红光输出镜,M₃为谐波反射镜(用来反射基频光反向通过KTP 晶体产生的倍频光)。声光Q开关置于两抽运头之间,以获得最佳的关断效果。倍频晶体KTP 采用Ⅱ类相位匹配(相位匹配角选为θ=59.9°,φ=0°),两通光面镀659.5 nm和1319 nm增透膜,并装配在特殊设计的温控装置中,以保证晶体在高功率条件下温度恒定。

每个激光抽运头由35只功率为20 W的激光二

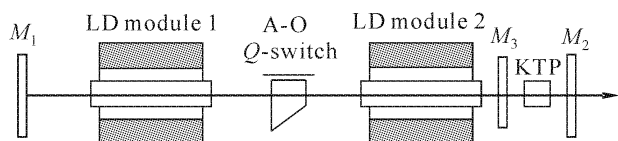


图1 83 W 红光激光器实验装置示意图

Fig. 1 Experimental setup of 83 W red laser

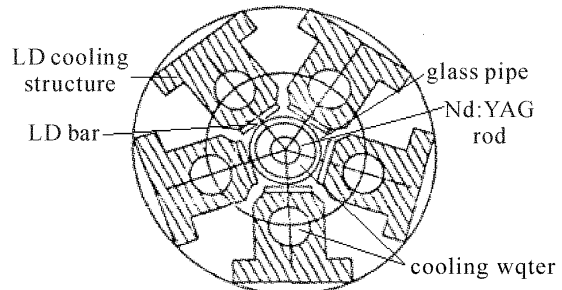


图2 700 W 抽运头结构示意图

Fig. 2 Structure of 700 W pumping module

极管组成,抽运功率最大可达700 W。这些激光二极管按照五边形等间距排列,侧面抽运 Nd:YAG 晶体(截面结构如图2所示),以获得均匀的抽运效果。Nd:YAG 晶体尺寸为Φ5 mm×120 mm,两端磨成凹面,用以补偿激光晶体的热透镜效应。由于单个抽运头的抽运功率受到限制,为了获得尽可能高的抽运功率,激光器谐振腔采用双抽运头串联结构,使总抽运功率可以达到1400 W,基本满足实验需要。

谐振腔中两抽运头对称放置,以获得最大的稳态区域^[8]。全反镜和输出镜都采用平面镜,以获得最大的模体积^[9]。谐振腔总的模体积为图3中阴影部分。模体积的计算公式为^[10]

$$V = 2[\pi\hbar(w_{0L}^2 + w_d^2) + \pi w_{0L}^2 \times (l - 2\hbar)], \quad (1)$$

式中 $\hbar = \frac{l}{2n}$, l 为棒长, n 为激光晶体的折射率, w_{0L}

为棒主平面上的光斑半径, w_d 为棒端面上的光斑半径。由文献[10]可知,腔内模体积 V 与棒主平面到腔镜的距离 L 成正比关系,所以为了获得尽可能高的输出功率,在谐振腔稳态区域内应选取尽可能大的 L 值。

为了获得 659.5 nm 单一波长红光激光输出,

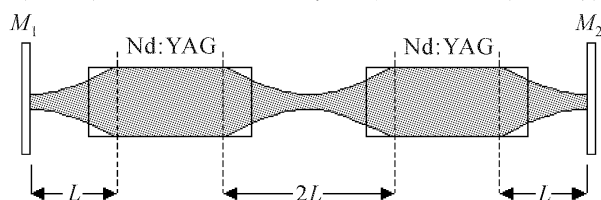


图3 对称谐振腔模体积示意图

Fig. 3 Diagram of the mode volume for the symmetrical resonator

要求谐振腔应有效抑制1064 nm和1338 nm激光振荡。目前,采用对腔镜镀1064 nm增透膜来抑制其波长振荡的方法已相当成熟,但对于1338 nm波长,由于它与1319 nm波长非常接近,采用同样的方法对其进行抑制难度较大,文献中也很少见到相关的报道。

采用镀膜方式抑制1338 nm激光振荡对膜系设计的要求很高。激光器阈值功率的计算公式为^[11]

$$P_{\text{th}} = \frac{\delta_0 \hbar \nu_p}{2Z\sigma_e \tau_f \eta_f} J^{-1}, \quad (2)$$

式中 $\delta_0 = T + \gamma_i$, 其中 γ_i 为谐振腔单程损耗, T 为谐振腔腔镜总透射率; ν_p 为抽运光频率, Z 为激光工作物质长度, σ_e 为受激辐射截面, τ_f 为能级的自发辐射寿命, η_f 为量子效率, J 为交叠积分。由于在同一谐振腔中, 1319 nm 和 1338 nm 波长抽运条件相同, 而且具有同一上能级, 所以它们对应的 $\hbar \nu_p$, τ_f , η_f 和 J 值都相同, 两个波长的受激辐射截面之比为 $\sigma_{e1319} : \sigma_{e1338} = 0.95 : 1$ ^[12], (2) 式可化简为

$$P_{\text{th}} = \frac{T_0 + \gamma_i}{\sigma_e} K, \quad (3)$$

式中 $K = \frac{\hbar \nu_p}{2Z\tau_f \eta_f} J^{-1}$ 。为了确保1338 nm激光不能在谐振腔内产生振荡, 需要满足 $P_{\text{th}1338} > P_{\text{max}}$ ($P_{\text{th}1338}$ 为1338 nm波长激光在谐振腔内产生振荡的阈值抽运功率, P_{max} 为激光器可获得的最大抽运功率)。

为了确保激光器只在 1319 nm 及其倍频 659.5 nm 波长条件下工作, 对腔镜镀膜参数的要求为: 全反镜 M_1 : $R_{1319 \text{ nm}} > 99.8\%$, $T_{1064 \text{ nm}} > 80\%$, $T_{1338 \text{ nm}} > 10\%$; 红光输出镜 M_2 : $T_{659.5 \text{ nm}} > 99\%$, $R_{1319 \text{ nm}} > 99.8\%$, $T_{1064 \text{ nm}} > 80\%$, $T_{1338 \text{ nm}} > 10\%$, 谐波反射镜 M_3 : $R_{659.5 \text{ nm}} > 97\%$, $T_{1319 \text{ nm}} > 99\%$, $T_{1064 \text{ nm}} > 80\%$, $T_{1338 \text{ nm}} > 60\%$ 。

3 实验结果与分析

3.1 1319 nm 基频激光输出特性

为便于性能比较,首先进行了1319 nm激光输出特性的实验研究。在图1所示谐振腔中去掉KTP晶体及谐波反射镜 M_3 ,并把红光输出镜 M_2 换为基频光输出镜($T_{1319 \text{ nm}} = 8\%$, $T_{1064 \text{ nm}} > 80\%$, $T_{1338 \text{ nm}} > 10\%$),便可获得1319 nm激光输出。

输出功率特性曲线如图4所示。阈值抽运功率约为700 W,当抽运功率为1250 W,声光Q开关工作重复频率10 kHz时,1319 nm激光输出功率达155 W,脉宽为350 ns,光-光转换效率为12%,斜率

效率为28%。当激光输出功率为155 W时,采用日本YOKOGAWA公司AQ6317C型光谱分析仪测量的激光光谱如图5所示。可以看出,此时激光器只在1319 nm单一波长条件下运转,证明1064 nm及1338 nm波长被有效抑制。此外,实验中没有发现文献[13]中提到的声光Q开关关断不彻底的现象。

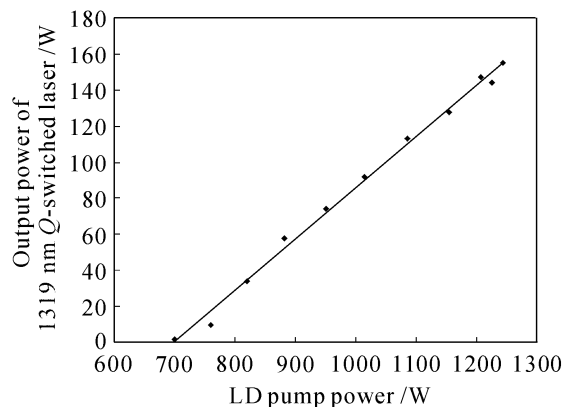


图4 1319 nm 激光输出功率随抽运功率的变化曲线

Fig. 4 Output power of 1319 nm laser as a function of pump power

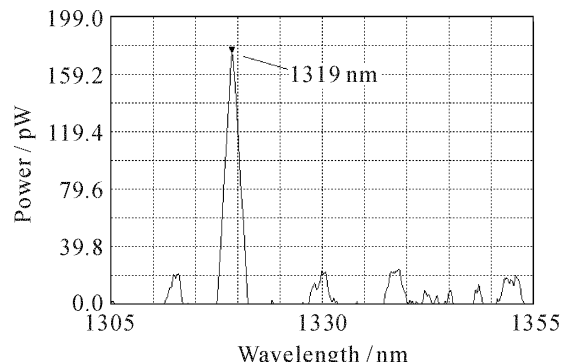


图5 1319 nm 激光器光谱图

Fig. 5 Spectrum of 1319 nm laser

3.2 659.5 nm 红光激光输出特性

659.5 nm 红光激光输出特性曲线如图6所示。阈值抽运功率约为750 W,当抽运功率为1250 W时,红光激光输出功率达到83 W,脉冲宽度210 ns,光-光转换效率6.7%,斜率效率17%。由图6所示的曲线还可看出,即使输出功率达到最高点,仍没有趋向饱和的迹象,说明如果进一步增大抽运功率,红光激光的输出功率还可以提高。在红光激光输出83 W条件下测得的激光光谱如图7所示,表明此时激光器只在659.5 nm单一波长条件下运转,并未出现664 nm和669 nm波长激光^[7]。

在659.5 nm激光输出功率为83 W条件下,使用Spiricon公司的LA100-PC型光束质量分析仪对输出激光空间分布特性进行了测量,如图8所示。

实验测得的水平方向光束发散角为 6.6 mrad, 垂直方向光束发散角为 6.5 mrad。

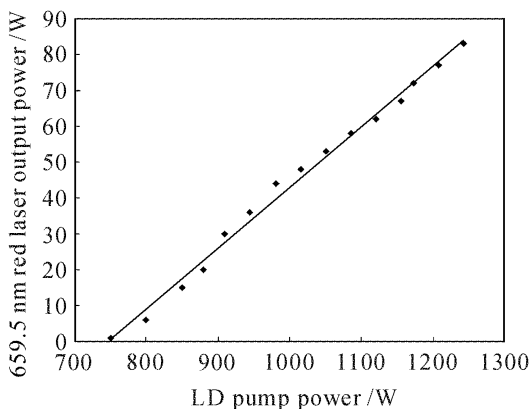


图 6 红光激光输出功率随抽运功率的变化曲线
Fig. 6 Output power of red laser as a function of pump power

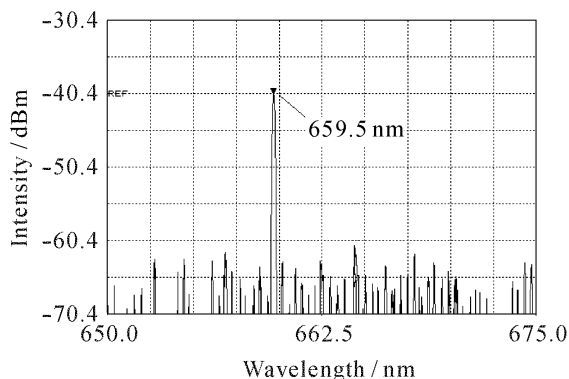


图 7 红光激光器光谱图
Fig. 7 Spectrum of red laser

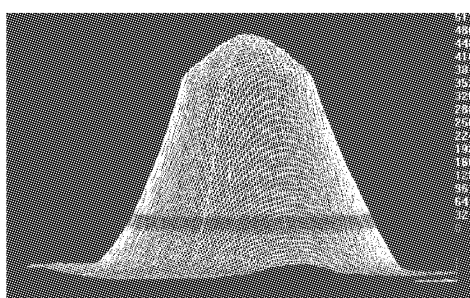


图 8 红光输出功率为 83 W 时的光斑强度分布
Fig. 8 Intensity distribution of red laser at 83 W output power

4 结 论

在高功率激光二极管抽运产生 1319 nm 波长的 Nd: YAG 激光器中, 利用 II 类临界相位匹配的 KTP 晶体腔内倍频, 通过谐振腔腔型优化设计及对腔镜膜系设计, 实现了最大功率为 83 W 的 659.5 nm 单一波长红光激光输出, 脉冲宽度 210 ns, 光-光转换效率 6.7%, 斜率效率 17%。可以看出, 如果增大

抽运功率, 红光激光器的输出功率还可进一步提高。

参 考 文 献

- Chen Changshui, Li Yunkui, Yin Shaotang et al.. 660 nm pumped LiTaO₃:Cr³⁺ laser operation [J]. Chinese J. Lasers, 2001, A28(1):13~14
陈长水, 李运奎, 殷绍唐等. 660 nm 激光抽运 LiTaO₃:Cr³⁺ 晶体的激光运转[J]. 中国激光, 2001, A28(1):13~14
- Xu Zuyan. Laser displays—new display technology for next generation [J]. Laser & Infrared, 2006, 36(Suppl.):737~741
许祖彦. 激光显示——新一代显示技术[J]. 激光与红外, 2006, 36(增刊):737~741
- Jiang Dongsheng, Zhao Hong, Wang Jianjun et al.. 120 W diode-pumped green Nd: YAG laser [J]. High Power Laser and Particle Beams, 2005, 17(Suppl.):7~10
姜东升, 赵 鸿, 王建军等. 120 W 的二极管泵浦 Nd:YAG 绿光激光器[J]. 强激光与粒子束, 2005, 17(增刊):7~10
- Tan Huiming, Zheng Quan, Chen Yingxin et al.. Double-frequency 671 nm laser with type-I critical phase-matching LBO [J]. Chinese J. Lasers, 2002, A29(4):289~292
檀慧明, 郑 权, 陈颖新等. LBO I 类临界相位匹配倍频 671 nm 激光器[J]. 中国激光, 2002, A29(4):289~292
- Zhang Hengli, Zhu Naiyi, Yang Qiansuo et al.. Study of an efficient Nd: YVO₄ red laser pumped by laser diode [J]. Acta Optica Sinica, 2001, 21(3):274~277
张恒利, 竹乃宜, 杨乾锁等. 激光二极管抽运 Nd:YVO₄/LBO 红光激光器研究[J]. 光学学报, 2001, 21(3):274~277
- Wen Wuqi, Yao Jianquan, Wang Tao et al.. LD pumper Nd: YAG/KTP Q-CW red laser with 12 W power [J]. J. Optoelectronics • Laser, 2005, 16(3):271~273
温午麒, 姚建铨, 王 涛等. LD 泵浦准连续 Nd:YAG/KTP 12 W 红光激光器[J]. 光电子·激光, 2005, 16(3):271~273
- Haibo Peng, Wei Hou, Yahui Chen et al.. 28 W red light output at 659.5 nm by intracavity frequency doubling of a Nd: YAG laser using LBO [J]. Opt. Express, 2006, 14(9):3961~3967
王海林, 周卓尤, 曹红兵等. 双棒串接 Nd:YAG 激光器的稳定特性研究[J]. 光电子·激光, 2003, 14(2):149~152
- K. P. Driedger, R. M. Ifflander, H. Weber. Multirod resonators for high-power solid-state lasers with improved beam quality [J]. IEEE J. Quantum Electron., 1988, QE-24(4):665~674
- Yu Benhai. Analyses of symmetrical resonator for two-rod Nd: YAG laser [J]. Journal of Applied Optics, 2003, 24(6):11~13
余本海. 双棒串接 Nd: YAG 激光器对称型谐振腔的分析[J]. 应用光学, 2003, 24(6):11~13
- Xie Shusen, Lei Shizhan. Photon Technology [M]. Beijing: Science Press, 2004. 440~441
谢树森, 雷仕湛. 光子技术[M]. 北京: 科学出版社, 2004. 440~441
- Zhao Xin, Yao Jianquan, Zhang Baigang et al.. A 3.11 W-CW LD end-pumped Nd : YAG laser at 1319 nm [J]. J. Optoelectronics • Laser, 2006, 17(6):673~677
赵 欣, 姚建铨, 张百钢等. LD 端泵浦 1319 nm 3.11 W-CW Nd:YAG 激光器[J]. 光电子·激光, 2006, 17(6):673~677
- Wen Wuqi, Yao Jianquan, Ding Xin et al.. LD pumped Nd: YAG/KTP quasi-continuous wave red light laser with 8.1 W output power [J]. Chinese J. Lasers, 2004, 31(11):1281~1284
温午麒, 姚建铨, 丁 欣等. 8.1 W 全固态准连续红光 Nd: YAG 激光器[J]. 中国激光, 2004, 31(11):1281~1284